

Starkniederschlagshöhen und -spenden gemäß KOSTRA-DWD-2010R

Auswertungszeitraum von 1951 - 2010, Januar - Dezember

Rasterfeld: 38023

Zeile: 38

Spalte: 23

Seite: 1/2

| Dauerstufe D | Wiederkehrzeit T | | | | | | | | | | | | | | | | | | |
|--------------|------------------|------|------------|------|------------|------|------------|------|------------|------|------------|------|------------|-------|------------|-------|------------|-------|------------|
| | 1 a | | 2 a | | 3 a | | 5 a | | 10 a | | 20 a | | 30 a | | 50 a | | 100 a | | |
| min | Std | mm | l / (s ha) | mm | l / (s ha) | mm | l / (s ha) | mm | l / (s ha) | mm | l / (s ha) | mm | l / (s ha) | mm | l / (s ha) | mm | l / (s ha) | mm | l / (s ha) |
| 5 | | 5,0 | 166,7 | 6,9 | 230,0 | 7,9 | 263,3 | 9,3 | 310,0 | 11,1 | 370,0 | 12,9 | 430,0 | 13,9 | 463,3 | 15,3 | 510,0 | 17,1 | 570,0 |
| 10 | | 8,0 | 133,3 | 10,4 | 173,3 | 11,8 | 196,7 | 13,6 | 226,7 | 16,1 | 268,3 | 18,5 | 308,3 | 20,0 | 333,3 | 21,8 | 363,3 | 24,2 | 403,3 |
| 15 | | 9,9 | 110,0 | 12,8 | 142,2 | 14,5 | 161,1 | 16,6 | 184,4 | 19,5 | 216,7 | 22,5 | 250,0 | 24,2 | 268,9 | 26,3 | 292,2 | 29,2 | 324,4 |
| 20 | | 11,3 | 94,2 | 14,5 | 120,8 | 16,5 | 137,5 | 18,9 | 157,5 | 22,2 | 185,0 | 25,5 | 212,5 | 27,4 | 228,3 | 29,8 | 248,3 | 33,1 | 275,8 |
| 30 | | 13,0 | 72,2 | 17,0 | 94,4 | 19,2 | 106,7 | 22,1 | 122,8 | 26,0 | 144,4 | 29,9 | 166,1 | 32,2 | 178,9 | 35,1 | 195,0 | 39,0 | 216,7 |
| 45 | | 14,6 | 54,1 | 19,2 | 71,1 | 22,0 | 81,5 | 25,4 | 94,1 | 30,0 | 111,1 | 34,7 | 128,5 | 37,4 | 138,5 | 40,9 | 151,5 | 45,5 | 168,5 |
| 60 | | 15,5 | 43,1 | 20,8 | 57,8 | 23,8 | 66,1 | 27,7 | 76,9 | 33,0 | 91,7 | 38,3 | 106,4 | 41,3 | 114,7 | 45,2 | 125,6 | 50,5 | 140,3 |
| 90 | | 17,1 | 31,7 | 22,7 | 42,0 | 26,0 | 48,1 | 30,2 | 55,9 | 35,8 | 66,3 | 41,5 | 76,9 | 44,8 | 83,0 | 48,9 | 90,6 | 54,6 | 101,1 |
| 120 | 2 | 18,3 | 25,4 | 24,3 | 33,8 | 27,7 | 38,5 | 32,1 | 44,6 | 38,0 | 52,8 | 43,9 | 61,0 | 47,4 | 65,8 | 51,7 | 71,8 | 57,6 | 80,0 |
| 180 | 3 | 20,2 | 18,7 | 26,6 | 24,6 | 30,3 | 28,1 | 34,9 | 32,3 | 41,3 | 38,2 | 47,6 | 44,1 | 51,3 | 47,5 | 55,9 | 51,8 | 62,3 | 57,7 |
| 240 | 4 | 21,7 | 15,1 | 28,3 | 19,7 | 32,2 | 22,4 | 37,1 | 25,8 | 43,8 | 30,4 | 50,4 | 35,0 | 54,3 | 37,7 | 59,2 | 41,1 | 65,8 | 45,7 |
| 360 | 6 | 23,9 | 11,1 | 31,0 | 14,4 | 35,2 | 16,3 | 40,4 | 18,7 | 47,5 | 22,0 | 54,6 | 25,3 | 58,8 | 27,2 | 64,0 | 29,6 | 71,1 | 32,9 |
| 540 | 9 | 26,4 | 8,1 | 34,0 | 10,5 | 38,5 | 11,9 | 44,1 | 13,6 | 51,7 | 16,0 | 59,3 | 18,3 | 63,7 | 19,7 | 69,3 | 21,4 | 76,9 | 23,7 |
| 720 | 12 | 28,3 | 6,6 | 36,3 | 8,4 | 41,0 | 9,5 | 46,8 | 10,8 | 54,8 | 12,7 | 62,8 | 14,5 | 67,5 | 15,6 | 73,3 | 17,0 | 81,3 | 18,8 |
| 1080 | 18 | 31,2 | 4,8 | 39,8 | 6,1 | 44,8 | 6,9 | 51,1 | 7,9 | 59,6 | 9,2 | 68,1 | 10,5 | 73,1 | 11,3 | 79,4 | 12,3 | 88,0 | 13,6 |
| 1440 | 24 | 33,5 | 3,9 | 42,5 | 4,9 | 47,7 | 5,5 | 54,3 | 6,3 | 63,3 | 7,3 | 72,2 | 8,4 | 77,4 | 9,0 | 84,0 | 9,7 | 93,0 | 10,8 |
| 2880 | 48 | 42,7 | 2,5 | 52,6 | 3,0 | 58,3 | 3,4 | 65,6 | 3,8 | 75,5 | 4,4 | 85,4 | 4,9 | 91,2 | 5,3 | 98,4 | 5,7 | 108,3 | 6,3 |
| 4320 | 72 | 49,2 | 1,9 | 59,6 | 2,3 | 65,7 | 2,5 | 73,4 | 2,8 | 83,8 | 3,2 | 94,2 | 3,6 | 100,3 | 3,9 | 108,0 | 4,2 | 118,4 | 4,6 |

Angaben in mm: Bemessungsniederschlagswerte h(n)

Angaben in l / (s ha): Regenspende R(n) mit $R(n) = h(n) \times 1,666667 / D[\text{min}]$

Toleranzbereiche:

+/- 10 % für $1 \text{ a} \leq T \leq 5 \text{ a}$

+/- 15 % für $5 \text{ a} < T \leq 50 \text{ a}$

+/- 20 % für $50 \text{ a} < T \leq 100 \text{ a}$

Datenbasis: KOSTRA-DWD-2010R des Deutschen Wetterdienstes. Die Regenspende wurde auf Basis des Bemessungsniederschlags zur jeweiligen Andauer berechnet.

Für die Richtigkeit und Aktualität der Angaben wird keine Gewähr übernommen. Erstellt 07/2022.

Starkniederschlagshöhen und -spenden gemäß KOSTRA-DWD-2010R

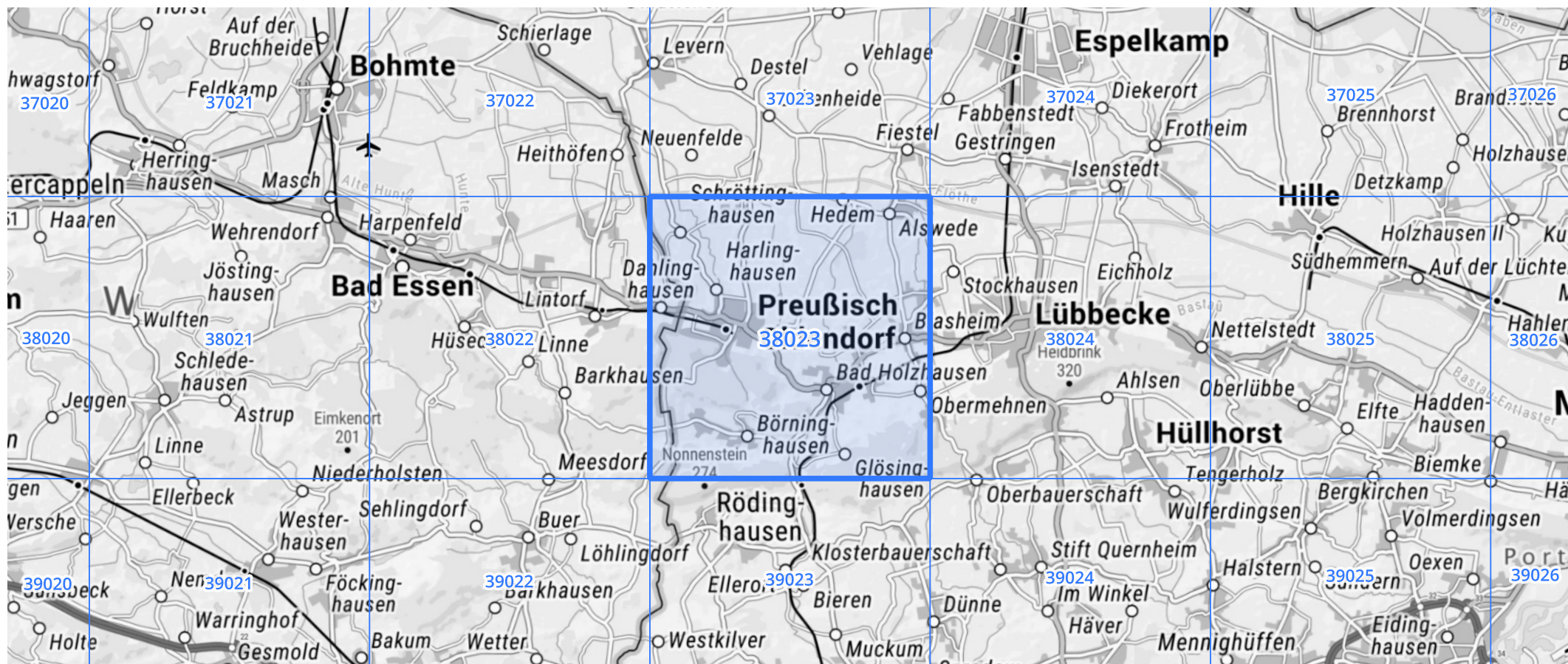
Auswertungszeitraum von 1951 - 2010, Januar - Dezember

Rasterfeld: 38023

Zeile: 38

Spalte: 23

Seite: 2/2



Quelle Rasterdaten: KOSTRA-DWD-2010R des Deutschen Wetterdienstes.

Kartendarstellung: © Bundesamt für Kartographie und Geodäsie (2022), Datenquellen: https://sgx.geodatenzentrum.de/web_public/gdz/datenquellen/Datenquellen_TopPlusOpen.html

Für die Richtigkeit und Aktualität der Angaben wird keine Gewähr übernommen. Erstellt 07/2022.